https://doi.org/10.3799/dqkx.2025.100



考虑动态渗流的散粒体滑坡一涌浪过程两相SPH模拟

彭 铭1,2,赵庆新1,2,李 爽1,2*,褚卫江3,朱 艳4,葛向铭3,陈昉健5

- 1. 同济大学土木工程防灾减灾全国重点实验室,上海 200092
- 2. 同济大学土木工程学院,上海 200092
- 3. 中国电建集团华东勘测设计研究院有限公司,浙江杭州 311122
- 4. 中船第九设计研究院工程有限公司,上海 200063
- 5. 厦门理工学院土木工程与建筑学院,福建厦门 361024

摘 要:滑坡一涌浪是一种典型的多灾种耦合系统,具有跨介质灾种转化的复杂效应.基于黎曼光滑粒子流体动力学 (Riemann-SPH),构建了考虑动态渗流的两相 SPH滑坡一涌浪分析模型并验证了其准确性:动态渗流作用的引入使得散粒体滑坡一涌浪过程中的动量交换机制更加完整,最大波浪幅值 a_m 和最大波浪高度 H_m 的误差分别降低 24.72% 和41.95% 以上.研究发现,滑动面倾角 α 与滑坡前缘倾角 β 对涌浪具有协同调控作用:随着 α 增大, a_m 和 H_m 均呈现先增后减的单峰变化趋势; β 的影响则呈现出分段特征:当 $\alpha+\beta$ <90°时, a_m 和 H_m 随角度和增大显著增长,超过该阈值后表现出非单调性变化,表明存在滑坡体积增加与有效作用面积缩减的竞争机制。此外, α 的增大强化了渗流、紊流与摩擦等耗散效应,加剧涌浪能量衰减。相关成果可为滑坡一涌浪灾害防治提供科学支撑。

关键词:滑坡一涌浪灾害链;黎曼光滑粒子流体动力学;动态渗流;滑动面倾角;滑坡前缘倾角;水土耦合;工程地质学.

中图分类号: P642 文章编号: 1000-2383(2025)10-3795-14

Two-Phase SPH Simulation of Granular Landslide-Tsunamis Processes Considering Dynamic Seepage

收稿日期:2025-04-26

Peng Ming^{1,2}, Zhao Qingxin^{1,2}, Li Shuang^{1,2*}, Chu Weijiang³, Zhu Yan⁴, Ge Xiangming³, Chen Fangjian⁵

- 1. State Key Laboratory of Disaster Reduction in Civil Engineering, Tongji University, Shanghai 200092, China
- 2. College of Civil Engineering, Tongji University, Shanghai 200092, China
- 3. PowerChina Huadong Engineering Corporation Limited, Hangzhou 311122, China
- 4. China Shipbuilding NDRI Engineering Co., Ltd., Shanghai 200063, China
- $5.\ School\ of\ Civil\ Engineering\ \&\ Architecture\ ,\ Xiamen\ University\ of\ Technology\ ,\ Xiamen\ 361024\ ,\ China$

Abstract: The landslide-tsunami is a typical multi-hazard coupled system, characterized by complex effects resulting from the transmedia transformation of hazards. In this paper it proposes a two-phase Riemann-SPH model for landslide-tsunami simulation that incorporates dynamic seepage and is validated against laboratory experiments. The incorporation of dynamic seepage effects

基金项目: 国家自然科学基金一联合基金重点项目(No.U23A2044);广西重点研发计划项目(No. 桂科 AB25069121); 国家自然科学基金一青年基金项目(No.42207238); 福建省自然科学基金项目—面上项目(No.2022J011253).

作者简介:彭铭(1981—),男,教授,从事地质灾害链式机理及智能风险防控研究.ORCID: 0000-0001-9134-4391. E-mail: pengming@tongji.edu.cn

^{*}通讯作者:李爽(2000-),男,博士研究生,从事地质灾害全过程模拟研究. E-mail: 2111042@tongji. edu. cn

引用格式:彭铭,赵庆新,李爽,褚卫江,朱艳,葛向铭,陈昉健,2025.考虑动态渗流的散粒体滑坡一涌浪过程两相SPH模拟.地球科学,50(10): 3795-3808.

Citation: Peng Ming, Zhao Qingxin, Li Shuang, Chu Weijiang, Zhu Yan, Ge Xiangming, Chen Fangjian, 2025. Two-Phase SPH Simulation of Granular Landslide-Tsunamis Processes Considering Dynamic Seepage. Earth Science, 50(10): 3795—3808.

enhances the completeness of the momentum exchange mechanism in the granular landslide-tsunami process, reducing the errors in the maximum wave amplitude (a_m) and maximum wave height (H_m) by at least 24.72% and 41.95%, respectively. The results reveal a synergistic regulation of tsunami characteristics by the sliding surface inclination (α) and the landslide leading edge inclination (β) : as α increases, the a_m and H_m exhibit a single-peaked, nonlinear increase-then-decrease trend. The influence of β shows a distinct piecewise pattern: when $\alpha + \beta < 90^{\circ}$, both a_m and H_m increase significantly with the angle. Beyond this threshold, non-monotonic variations appear, reflecting a competition between the increasing landslide volume and the decreasing effective impact area. Moreover, increasing α enhances seepage, turbulent and frictional dissipation effects, accelerating energy decay. These findings provide scientific support for the mitigation of landslide-tsunami hazards.

Key words: landslide-tsunami hazard chain; Riemann-SPH; dynamic seepage; sliding surface inclination; landslide leading edge inclination; fluid-soil coupling; engineering geology.

0 引言

滑坡一涌浪是指一定体积的滑坡体在重力作 用下高速冲击水体并激发波浪的过程,是近水滑坡 灾害链中的重要致灾方式(Evers et al., 2019; 徐文 杰, 2023; 刘继芝娴, 2023). 随着大规模水电工程的 建设与运行,滑坡一涌浪灾害对库区及近水区域的 工程稳定性和生命财产安全构成严重威胁,极易引 发灾难性后果(李秋旺等, 2024).如1963年意大利 瓦伊昂水库滑坡一涌浪事件,约2.7×108 m3岩土体 冲击入水,引发 5.0×10⁷ m³水体溢出,造成约 2 000 人死亡(Barla and Paronuzzi, 2013);2013年溪洛渡 库区黄坪滑坡一涌浪事件导致12人失踪,3人受伤 (蒋权,2019);2015年三峡库区红岩子滑坡一涌浪 事件致使 13 艘渔船倾覆, 2 人遇难(Huang et al., 2016). 相较于单一滑坡灾害,滑坡一涌浪灾害具有 显著的时空延展性特征,其灾害演化过程涉及跨尺 度灾种转化与跨介质多场耦合的复杂物理机制(李 宏伟等,2024).这种多物理场耦合效应导致灾害影 响范围扩大、致灾强度增强、演化过程更加复杂,显 著增加了灾害预测与防控的难度(朱艺帆和安超, 2024).

目前关于滑坡一涌浪的研究主要可以分为现场调查、经验公式及解析法、模型试验和数值模拟(Evers and Hager, 2016; Meng et al., 2023). 在现场调查方面:其信息主要来源于时序监测数据、目击者描述和影像资料等(Fritz, 2001; Grilli et al., 2019).然而,由于滑坡一涌浪灾害具有突发性强、发生地点难以预测等特点,往往导致灾害现场的监测数据不完整或无法获取.

在经验公式及解析法方面:采用概化的几何模型试验,考虑多个实验变量进行大量实验,分析对比影响因子对滑坡涌浪特征的影响程度和规律,具

有概念清楚、适用范围广的特点(Fritz et al., 2004; 殷坤龙等, 2012).但是由于滑坡一涌浪是一个极其复杂的动力学过程,经验公式法忽略了滑坡体的复杂形态和运动特征,未考虑流固耦合作用,不能重现滑坡一涌浪全过程.

在滑坡一涌浪模型试验方面:主要包括在狭窄 水槽中开展的二维试验(Fritz, 2001)和在宽阔水池 中开展的三维试验(Heller and Spinneken, 2015).研 究表明,滑坡体质量、几何尺寸(长度、宽度、厚度)、 冲击速度以及静水深度等参数对涌浪波形特征具 有显著影响,但对滑坡前缘倾角的研究较为有限 (Heller and Spinneken, 2013, 2015; Tang et al., 2018).此外,滑动面倾角(入水冲击角度)对涌浪的 影响规律尚存在争议.部分学者认为涌浪首浪峰值 和最大波浪幅值与滑动面倾角呈正相关,而另一些 学者则认为呈负相关或受复杂因素影响(Cui and Zhu, 2011; Mohammed and Fritz, 2012). 尽管模型 试验可通过可靠的数据揭示涌浪的产生机制与传 播规律,但受限于现有监测技术,难以实现流场动 态演化过程的全域捕捉,从而制约了对水土相互作 用细观机理的深入解析.

在滑坡一涌浪数值模拟方面:常用的数值模型主要包括深度平均模型、计算流体动力学(CFD)网格模型、多相流模型和粒子法模型四类(Lee et al., 2022).深度平均模型以其良好的计算效率得到广泛应用,但其较难考虑流体沿深度方向变化,难以模拟滑坡一涌浪过程中复杂的动力流固耦合作用(Fornaciai et al., 2019).CFD模型直接计算深度方向的速度变化并追踪液体表面,可以更加精细地模拟滑坡涌浪过程,但面对涌浪这类复杂的自由液面时,需要在界面处布置高精度网格,影响计算效率(Clous and Abadie, 2019).多相流模型是在CFD基础上改进的欧拉网格多相耦合模型,适用于滑坡一

涌浪问题的精细化研究及物理力学机制分析,但其应用仍受限于计算效率(Yu and Lee, 2019; Lee and Huang, 2022).

粒子法通过一系列粒子描述模拟对象,采用纯 拉格朗日形式求解.在处理自由液面时,无需额外 方法追踪液面,且液体与固体采用统一形式进行描 述与求解,适用于流固耦合计算(Paquier et al., 2021). 光滑粒子动力学(SPH)是一种典型的无网格 拉格朗日方法,广泛用于滑坡一涌浪等大变形过程 模拟(Luo et al., 2021;徐文杰, 2023). 在该方法中, 计算域被离散为携带质量、速度等物理属性的粒子 单元,粒子间通过核函数进行加权插值,从而近似 求解流体动力学控制方程. 蒋权(2019)基于SPH两 相数值模型,模拟了2013年黄坪滑坡一涌浪事件, 获得了较为准确的浪高及完整的涌浪过程.Huang et al.(2023)采用SPH流固耦合框架,模拟了荒田滑 坡一涌浪事件,结果与现场数据较为一致.Mao and Guan(2023)发现滑坡潜在能量的减少与最大波高 之间存在指数关系. 刘继芝娴(2023)基于SPH方法 系统研究了巫峡段高陡库岸滑坡一涌浪的形成机 理及其动态衰减规律.Wu et al.(2024a)采用MPM-SPH耦合方法模拟了白鹤滩库区王家山滑坡引发 的涌浪过程,并开展了相关风险分析.Wu et al. (2024b)基于一个固定前缘倾角的刚体滑块研究了 滑坡一涌浪的密度效应,发现滑坡体密度对涌浪特 性的影响与滑坡厚度和冲击速度相关.Dai et al. (2025)开发了适用于海底滑坡的多相流 SPH 模型, 研究了流变参数对滑坡运移和涌浪行为的影响,现 有的SPH方法通常主要关注滑坡冲击水体过程中 的动量与能量交换,而较少考虑水土间的动态渗流 效应(Rauter et al., 2022; Zhu et al., 2022).

动态渗流效应是指在滑坡一涌浪过程中,尤其是散粒体滑坡入水阶段,水体以非稳态形式渗入滑坡体内部,并因液相与固相间的相对运动产生渗流拖曳力.该效应显著改变滑坡一涌浪的近场动力学行为,是准确预测涌浪特征参数的关键因素(徐文杰,2023).此外,已有研究多聚焦于滑动面倾角或滑坡前缘倾角的单一影响(刘继芝娴,2023).鉴于两者均可直接影响滑坡的有效作用面积,进而影响涌浪生成与演化,其协同作用机制仍有待深入探讨.

为了精确预测散粒体滑坡一涌浪灾害过程中的涌浪参数,本研究基于SPH框架建立了一种考虑

动态渗流的水土两相 SPH模型,通过与经典试验对比验证了模型的可靠性,并探讨了渗流效应对散粒体滑坡一涌浪数值模拟计算精度的影响.此外,本研究设计了一系列数值试验,系统分析了滑动面倾角(α)与滑坡前缘倾角(β)的协同作用对涌浪特征参数的影响.

1 考虑动态渗流的 SPH 滑坡 一涌浪 分析方法

本文采用弱可压缩流体模拟水体流动,并基于Drucker-Prager本构的弹塑性体模拟滑坡体的失稳大变形行为.水体与滑坡体分别由可相互重叠的SPH粒子表示,并结合混合物理论与非线性渗流力改写控制方程,建立了一种考虑动态渗流效应的两相SPH方法,可用于散粒体滑坡一涌浪的分析研究.本文所有开发与计算均基于开源C++代码库SPHinXsys(Zhang et al., 2021).

1.1 流体本构方程

在该模型中,水体被视为牛顿弱可压缩流体, 状态方程被用来定义压力与密度的对应关系:

$$p = c_0^2 (\rho - \rho_0) , \qquad (1$$

式中: c_0 为数值声速, ρ_0 为初始密度.取 c_0 =10 U_{max} ,以保证密度波动小于1%,其中 U_{max} 为最大流速.水体剪切应力 τ_f 的定义为:

$$\tau_f = 2\mu \dot{\varepsilon}_f = \eta \left[\nabla u_f + \left(\nabla u_f \right)^T \right], \tag{2}$$

式中: μ 为水的动态粘度, ϵ_f 为应变率张量, η 为水的动力粘度.

1.2 土体本构方程

对于土体,应用基于 Drucker-Prager 屈服准则的弹塑性本构.该模型的屈服条件为:

$$f(I_1, J_2) = \sqrt{J_2} + \alpha_{\varphi} I_1 - k_{c},$$
 (3)

式中: I_1 为第一应力不变量, J_2 为第二偏应力张量,I为单位矩阵, α_{φ} 、 k_c 为 DP 准则参数,由粘聚力 c 和内摩擦角 φ 决定:

$$\alpha_{\varphi} = \frac{\tan\varphi}{\sqrt{9 + 12\tan^2\varphi}},\tag{4}$$

$$k_c = \frac{3c}{\sqrt{9 + 12\tan^2\varphi}}. (5)$$

非关联流动法则和Jaumann应变率被应用于计算屈服应力,此时应力应变关系为:

$$\dot{\boldsymbol{\sigma}} = 2G\dot{\boldsymbol{\epsilon}}^s + Ktr(\dot{\boldsymbol{\epsilon}})\boldsymbol{I} - \left[\dot{\lambda}3\alpha_{\psi}K\boldsymbol{I} + \frac{G}{\sqrt{J_2}}\boldsymbol{\sigma}^s\right] +$$

$$\boldsymbol{\sigma}^{\bullet}\dot{\boldsymbol{\omega}}^T + \dot{\boldsymbol{\omega}}^{\bullet}\boldsymbol{\sigma} \qquad . \tag{6}$$

式中:K和G分别为体积模量和剪切模量, $\dot{\epsilon}$ 是应变 张量, $\dot{\epsilon}' = \dot{\epsilon} - tr(\dot{\epsilon})I/3$ 是偏应变率张量, $\dot{\omega}$ 是旋转 张量, λ 是塑性应变乘子:

$$\dot{\lambda} = \frac{3\alpha_{\varphi}Ktr(\dot{\epsilon}) + (G/\sqrt{J_2})\sigma':\dot{\epsilon}}{9\alpha_{\varphi}K\alpha_{\psi} + G},$$
 (7)

式中:4为土体膨胀角.

在应力更新过程中,应力状态有可能会超过 DP准则的屈服面,违背理想弹塑性假设.为此,应 力拉回算法被采用,具体为:

$$\begin{cases}
\tilde{\boldsymbol{\sigma}} = \boldsymbol{\sigma} - \frac{1}{3} \left(I_1 - \frac{k_c}{\alpha_{\varphi}} \right) I, & -\alpha_{\varphi} + k_c < 0 \\
\tilde{\boldsymbol{\sigma}} = \frac{-\alpha_{\varphi} + k_c}{\sqrt{J_2}} \boldsymbol{\sigma}^s + \frac{1}{3} I_1 I, & -\alpha_{\varphi} + k_c < \sqrt{J_2}
\end{cases}, (8)$$

式中: 6 是拉回后的应力张量.

1.3 基于混合物理论的控制方程

基于混合物理论模拟水、土混合,用下标 f 和 s 分别代表水体和土体. 在混合物理论中,数值空间被内在密度为 ρ_i 的水及内在密度为 ρ_s 的土体同时占据,其各自的体积分数为 ϕ_i 和 ϕ_s (Zhu et al., 2022). 此时,其体积分数满足归一化条件:

$$\phi_{\rm f} + \phi_{\rm s} = 1. \tag{9}$$

在拉格朗日框架下,两相质量守恒方程为:

$$\frac{\mathrm{d}^{\mathrm{s}} \rho_{\mathrm{s}}}{\mathrm{d}t} = -\rho_{\mathrm{s}} \nabla \cdot \boldsymbol{u}_{\mathrm{s}} , \qquad (10)$$

$$\frac{\mathrm{d}^{\mathrm{f}} \rho_{\mathrm{f}}}{\mathrm{d}t} = -\frac{\rho_{\mathrm{f}}}{\phi_{\mathrm{f}}} \nabla \cdot \left(\phi_{\mathrm{f}} \boldsymbol{u}_{\mathrm{f}} + \phi_{\mathrm{s}} \boldsymbol{u}_{\mathrm{s}} \right), \tag{11}$$

式中: ρ_s 和 ρ_i 分别为土体和流体的材料密度. u_s 、 u_i 分别为土体和水体的速度.基于线性动量守恒,水体和土体的动量守恒方程分别为:

$$\rho_{s} \frac{\mathrm{d}^{s} u_{s}}{\mathrm{d} t} = \nabla \cdot \boldsymbol{\sigma}_{s} + \rho_{s} \mathbf{g} - \phi_{s} \nabla p_{f} + \mathbf{R} \quad , (12)$$

$$\phi_{\mathrm{f}} \rho_{\mathrm{f}} \frac{\mathrm{d}^{\mathrm{f}} \boldsymbol{u}_{\mathrm{f}}}{\mathrm{d} t} = -\phi_{\mathrm{f}} \nabla p_{\mathrm{f}} + \eta \nabla^{2} \boldsymbol{\mu}_{\mathrm{f}} + \phi_{\mathrm{f}} \rho_{\mathrm{f}} \mathbf{g} - \boldsymbol{R}, \quad (13)$$

式中:g=9.8 m/s²为重力加速度, σ 。为土体内部有效应力,p₁为水体压力, η 为动力粘度,R为渗流拖曳力,其公式为:

$$R = \frac{\mu}{k} (\mu_{\mathrm{f}} - \mu_{\mathrm{s}}) + \frac{1.75}{\sqrt{150}} \frac{\rho_{\mathrm{f}}}{\sqrt{k} \phi_{\mathrm{f}}} \| \mu_{\mathrm{f}} - \mu_{\mathrm{s}} \| (\mu_{\mathrm{f}} - \mu_{\mathrm{s}}),$$

$$\tag{14}$$

$$k = \frac{\phi_{\rm f}^3 D_{50}^2}{150 \left(1 - \phi_{\rm f}\right)^2} \quad , \tag{15}$$

式中: D50 为中值粒径.

在 SPH模型中,用一系列拉格朗日粒子离散化计算空间.在多相 SPH模型中,水和土将会被离散为两组粒子同时计算,相互作用.两种粒子可以重叠,形成两层 SPH粒子,每个粒子除携带其物理力学属性如速度、质量等外,还会携带孔隙率属性(图1).采用 SPH核函数 $W_{ij} = W(r_i - r_j, h_s)$ 可以对物理方程进行离散化,从而对每个 SPH 粒子进行计算,其中i,j为粒子的序号, h_s 为光滑半径.对流体的质量守恒和动量守恒方程进行离散化后,可以得到流体的 SPH形式控制方程为:

$$\frac{\mathrm{d}^{i} \rho_{i}}{\mathrm{d}t} = -\frac{\rho_{i}}{\phi_{i}} \sum_{j} (\phi_{j} \boldsymbol{u}_{j} - \phi_{i} \boldsymbol{u}_{i}) \cdot \nabla_{i} W_{ij} V_{j} - \frac{\rho_{i}}{\phi_{i}} \sum_{j} (1 - \phi_{j}) \boldsymbol{u}_{j}^{s} \cdot \nabla_{i} W_{ij} V_{j} + \hat{\rho} \nabla_{i} W_{ij} V, \qquad (16)$$

$$\frac{\mathrm{d}^{\mathrm{f}} \boldsymbol{u}_{i}}{\mathrm{d}t} = -\frac{1}{\rho_{i}} \sum_{j} (p_{i} + p_{j}) \nabla_{i} W_{ij} V_{j} + \boldsymbol{g}_{i} - \frac{1}{\rho_{i} \phi_{i}} \sum_{a} f_{ia} W_{ia} V_{a} + \hat{P} \nabla_{i} W_{ij} V, \tag{17}$$

式中:i,j表示水粒子的序号,a,b表示土粒子的序号,V为粒子体积.基于黎曼相互作用求解(许强和董秀军,2011), $\hat{\rho}$ 和 \hat{P} 分别为:

$$\hat{\rho} = \rho_{L} \frac{P_{L} - P_{R}}{\rho_{L} c_{L} + \rho_{R} c_{R}}, \tag{18}$$

$$\hat{P} = \frac{2\rho_{\rm L}c_{\rm L}\rho_{\rm R}c_{\rm R}(U_{\rm L} - U_{\rm R})\lambda}{\rho_{\rm I}(\rho_{\rm I}c_{\rm I} + \rho_{\rm R}c_{\rm R})},\tag{19}$$

$$\lambda = \min \left(\xi \max \left(\frac{(U_{L} - U_{R})(\rho_{L} + \rho_{R})}{\rho_{L}c_{L} + \rho_{R}c_{R}}, 0 \right), 1 \right), (20)$$

式中: ξ =3为耗散系数.下标L,R分别代表黎曼相互作用中的左右项,计算方式为:

$$\begin{cases}
\left(\rho_{L}, U_{L}, P_{L}, c_{L}\right) = \left(\rho_{i}, -\mathbf{v}_{i} \cdot \mathbf{e}_{ij}, p_{i}, c_{i}\right) \\
\left(\rho_{R}, U_{R}, P_{R}, c_{R}\right) = \left(\rho_{j}, -\mathbf{v}_{j} \cdot \mathbf{e}_{ij}, p_{j}, c_{j}\right)
\end{cases} (21)$$

式中: c 为声速.采用同样的方式,可以对土体的质量守恒方程和能量守恒方程进行黎曼 SPH 离散化,得到:

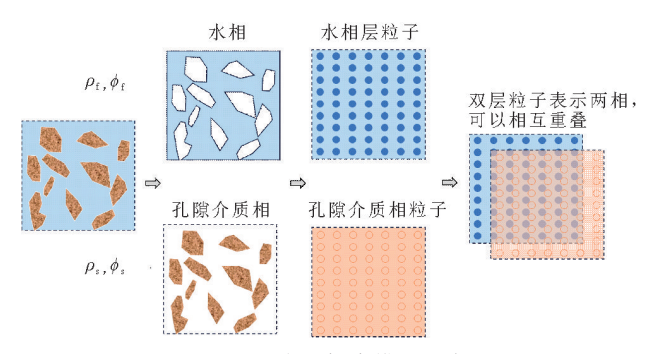


图1 SPH水土耦合模型示意图

Fig. 1 Schematic of SPH soil-water coupling model

$$\frac{\mathrm{d}^{s} \rho_{a}}{\mathrm{d}t} = \rho_{a} \sum_{b} (\boldsymbol{u}_{a} - \boldsymbol{u}_{b}) \nabla_{a} W_{ab} V_{b} + \hat{\rho} \nabla_{i} W_{ij} V, (22)$$

$$\frac{\mathrm{d}^{s} \boldsymbol{u}_{a}}{\mathrm{d}t} = \frac{1}{\rho_{a}} \sum_{b} (\sigma_{a} + \sigma_{b}) \nabla_{a} W_{ab} V_{b} + g_{a} - \frac{\phi_{a}}{\rho_{a}} \sum_{i} (p_{i} - p_{a}) \nabla_{a} W_{ai} V_{i} + \frac{1}{\rho_{a}} \sum_{i} \mathbf{f}_{ai} W_{ai} V_{i} + \hat{P} \nabla_{i} W_{ij} V, \tag{23}$$

式中: $\hat{\rho}$ 和 \hat{P} 计算方式与水体相同,但在土体中耗散系数 ζ 取 15D,其中 D 代表维度,在二维算例下取 2,三维算例下取 3(Zhang et al., 2024).

2 数值验证

2.1 计算模型

基于滑坡涌浪室内模型试验(Viroulet et al., 2013)对 SPH模拟滑坡一涌浪进行了验证,如图 2 所示.试验中,滑坡体由质量为 2 kg 的干颗粒组成,初始置于 45°的斜坡上,并在挡板限制下保持静止.滑坡体下设置深度为 0.15 m的静止水体.涌浪的波面数据通过距离滑坡体位置分别为 0.45 m、0.75 m、1.05 m 和 1.35 m 四个浪高仪(WG)进行采集(图 2). SPH模型中散粒体滑坡及水体的详细物理参数列于表 1.

为了深入探讨渗流效应在滑坡一涌浪灾害中 对涌浪特征参数的影响,本文分别对考虑渗流和未 考虑渗流两种情形进行了数值计算.

2.2 计算结果

图 3a~3e 展示了滑坡涌浪试验的动态演化过程, t=0 s时, 挡板被快速撤掉, 滑坡体开始失稳并发生变形; t=0.3 s时, 滑坡体前缘进入水中, 与水体发生剧烈混合和冲击, 形成近场涌浪; t=0.9 s时, 滑坡体完全落入水中, 水体最左端受滑坡抬升效应影响产生二次涌浪. 随着滑坡体逐渐趋于稳定, 所产

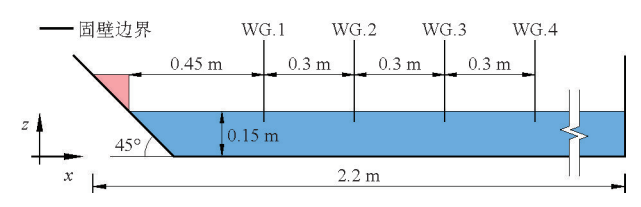


图 2 滑坡一涌浪试验设置

Fig. 2 Experimental setup for the landslide-tsunami

表1 模型试验参数(Viroulet et al., 2013)

Table 1 Parameters of the landslide-tsunami experiment (Viroulet *et al.*, 2013)

材料	物理参数	数值
水体	密度	$1~000~{\rm kg/m^3}$
	运动黏滞系数	$1.0 \times 10^{-6} \text{ m}^2/\text{s}$
散粒体	密度	$2~500~\mathrm{kg/m^3}$
	中值粒径	4 mm
	杨氏模量	5.84 MPa
	内摩擦角	23.3°
	初始体积分数	0.6

生的波浪向远处传播并逐渐衰减,如 t=1.5 s时所示.考虑渗流效应的 SPH模拟结果(图 3f~3j)与试验观测基本一致,成功复现了散粒体滑坡从失稳启动到涌浪传播的全过程动力学行为.相比之下,忽略渗流效应的模拟(图 3k~3o)则与试验结果存在显著偏差.具体而言,考虑渗流效应时,滑坡体前缘呈现明显的团聚与堆积特征,运移形态表现为前缘厚后缘薄(图 3g),与试验观测一致;而忽略渗流效应时,滑坡前缘形态明显偏离实际.此外,渗流作用下在滑坡体附近形成局部高速流动区,波形特征与试验结果高度一致;而未考虑渗流效应时,波形形态与试验结果存在显著差异.这一对比表明,本文建立的考虑渗流效应的 SPH 方法能够准确再现滑坡一涌浪事件的动态演化过程,包括滑坡体失稳、人水冲击、波浪生成与传播等关键阶段.

图 4进一步对比了数值模拟与模型试验的波形数据,结果表明,考虑渗流效应的 SPH 计算方法与试验结果具有较高的一致性,而未考虑渗流效应模拟到的浪高显著偏小.具体而言,对于最大波浪幅值(a_m),未考虑渗流效应时,4个监测点的误差分别为 48.15%、50.78%、53.14%和 60.66%;而在考虑渗流效应后,误差显著降低至 23.43%、14.77%、8.53%和1.68%.对于最大波浪高度(H_m),未考虑渗流效应时,4个监测点的误差分别为 59.57%、61.99%、67.12%和 71.62%;而在考虑渗流效应后,

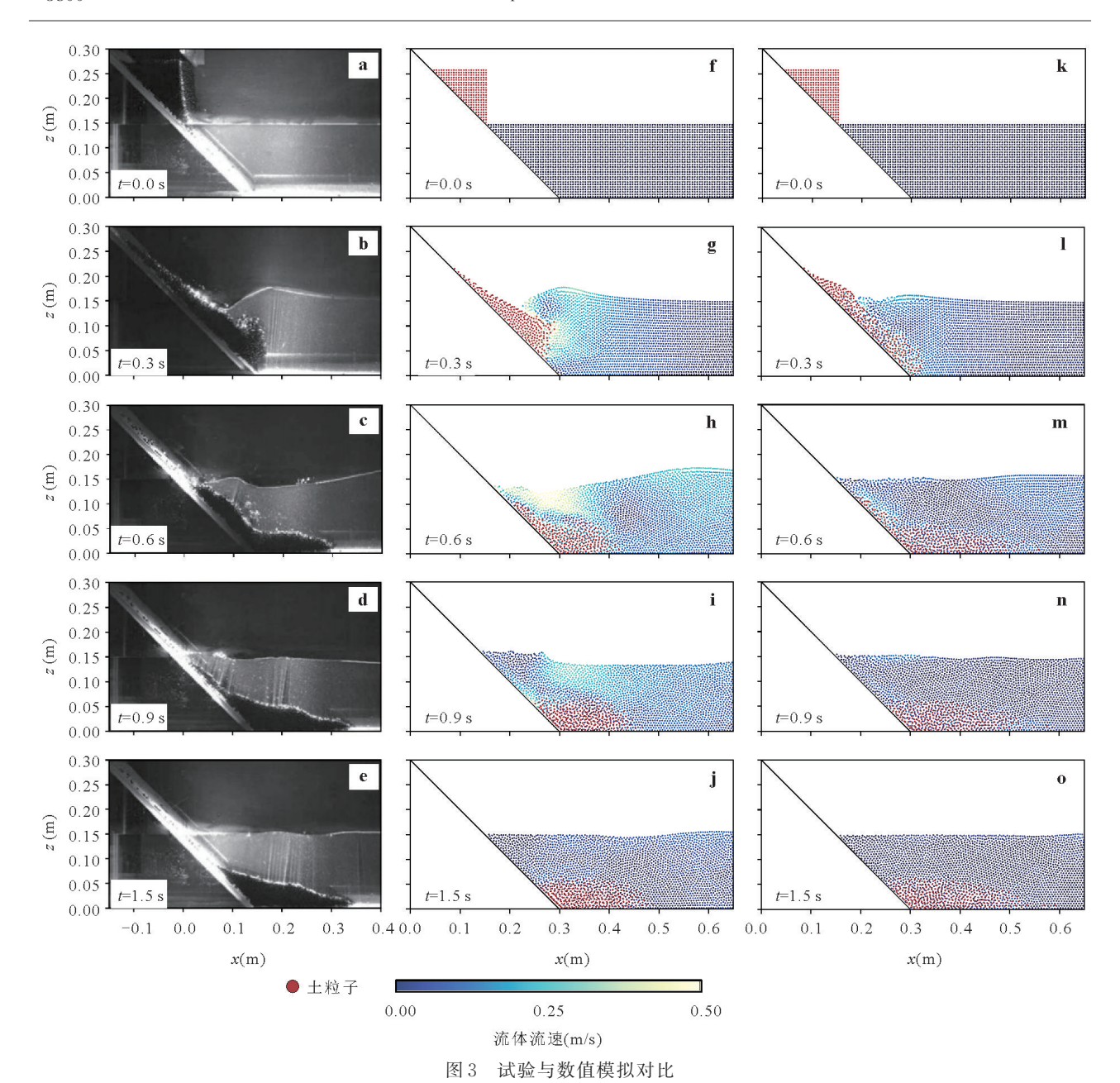


Fig. 3 Experiment vs. simulation a~e. 试验过程; f~j. 考虑渗流的数值模拟; k~o. 未考虑渗流的数值模拟

误差分别降至17.62%、10.18%、4.86%和2.69%.这一对比结果充分验证了渗流效应对滑坡一涌浪模拟精度的重要影响.考虑动态渗流的两相SPH方法引入了与水土相对速度相关的渗流拖曳力项,增强了滑坡一涌浪过程中的水土动量耦合,显著提高了涌浪波高的模拟精度,使其更接近真实试验结果.综上结果表明,考虑渗流的两相SPH算法能够更真实地反映土一水两相介质的相互作用机制,可以更好地应用于散粒体滑坡一涌浪的模拟研究.

3 滑动面倾角和滑坡前缘倾角协同 作用机制

3.1 工况设置

为研究滑动面倾角(α)和滑坡前缘倾角(β)对 涌浪特征参数的协同影响,采用概化模型进行数值 计算,模型几何示意图如图 5 所示(Wu et al., 2024b).滑坡体形状设定为直角梯形,底边长为 0.42 m,高为 0.08 m,初始水位为 0.3 m.设定滑动面倾角分别为 35°、45°、50°、55°和 65°,滑坡前缘倾角分

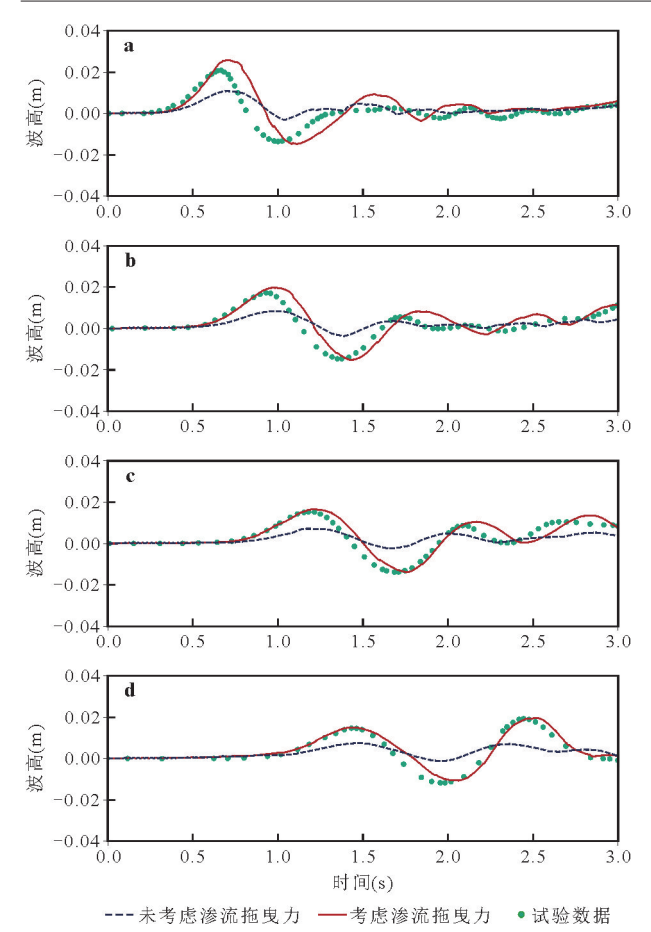


图 4 不同监测点下数值模拟浪高与试验数据对比

Fig. 4 Comparison of simulated wave heights with experimental data at monitoring points

图据 Viroulet et al.(2013). a.WG.1; b.WG.2; c.WG.3; d.WG.4

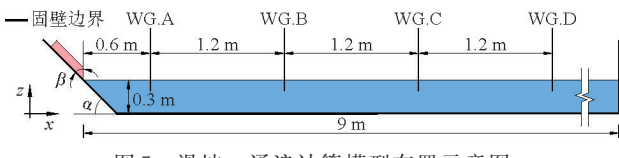


图 5 滑坡一涌浪计算模型布置示意图

Fig. 5 Schematic diagram of the landslide-tsunami computational model setup

别为 20° 、 30° 、 40° 、 50° 和 60° (表 2). 滑坡体由中值粒 径为 4 mm 的散粒体组成,内摩擦角 23.3° ,密度为 $2\,000\,kg/m^3$. 散粒体滑坡在重力作用下沿滑动面滑入水中,模拟过程中在布置了 $4\,$ 个浪高仪(WG)以记录涌浪近场波面的变化.通过系统改变 $\alpha\,$ 和 β 的组合,研究 $\alpha\,$ 和 β 协调影响下涌浪特征参数的差异.

3.2 涌浪形成规律

当滑坡前缘倾角 β 为20°时,滑动面倾角 α 由35°逐步增至65°, a_m 和 H_m 均表现出先增后减的非线性变化趋势,并在 α =55°时达到峰值(图6a).当 β 进一

表 2 数值模拟工况

Table 2 List of numerical simulation conditions

滑动面倾角(α)	滑坡前缘倾角(β)
35°	20°,30°,40°,50°,60°
45°	20°,30°,40°,50°,60°
50°	20°, 30°, 40°, 50°, 60°
55°	20°, 30°, 40°, 50°, 60°
65°	20°, 30°, 40°, 50°, 60°

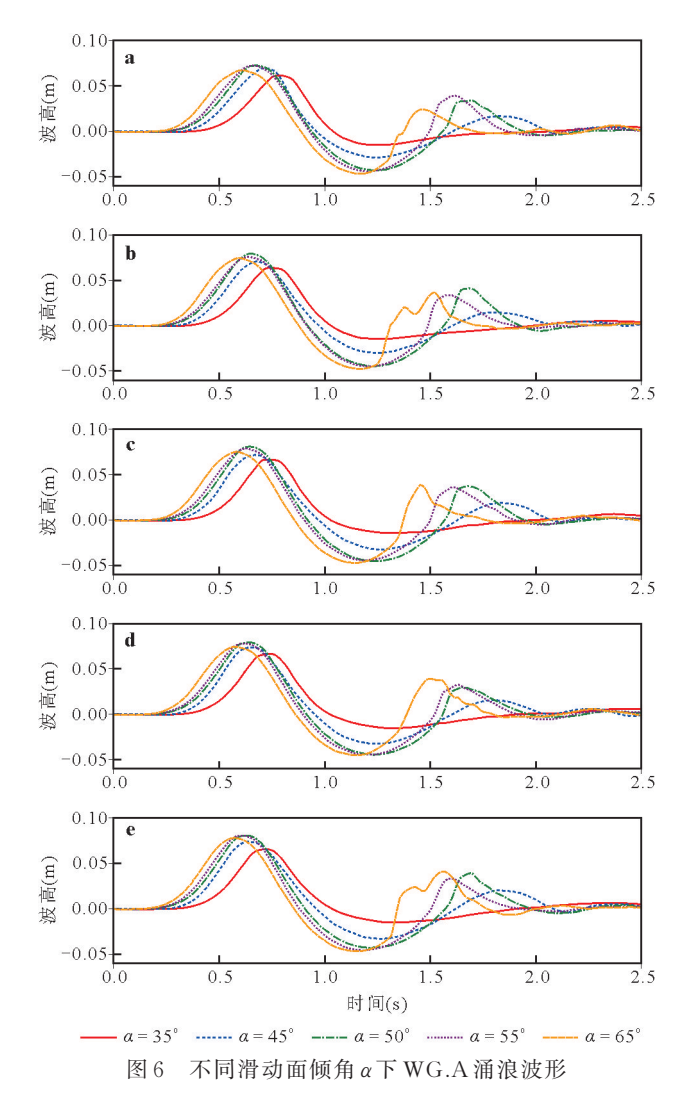


Fig. 6 WG.A waves for varied sliding surface inclinations α a. β =20°; b. β =30°; c. β =40°; d. β =50°; e. β =60°

步增大至 30° 、 40° 、 50° 和 60° 时, a_m 和 H_m 依然表现出类似的变化规律,峰值位置集中在 $\alpha=50^\circ$ 或 55° .相比之下, β 对涌浪参数的影响相对较弱,但其变化规律更为复杂(图 7).具体而言,当 $\alpha=35^\circ$ 时,随着 β 的增大, a_m 和 H_m 呈现先增大后减小的单峰特征;当 $\alpha=45^\circ$ 时,随着 β 的增大, a_m 和 H_m 先增大后趋于稳定;而当 $\alpha=50^\circ$ 、 55° 或 65° 时,随着 β 的增大, a_m 和 H_m

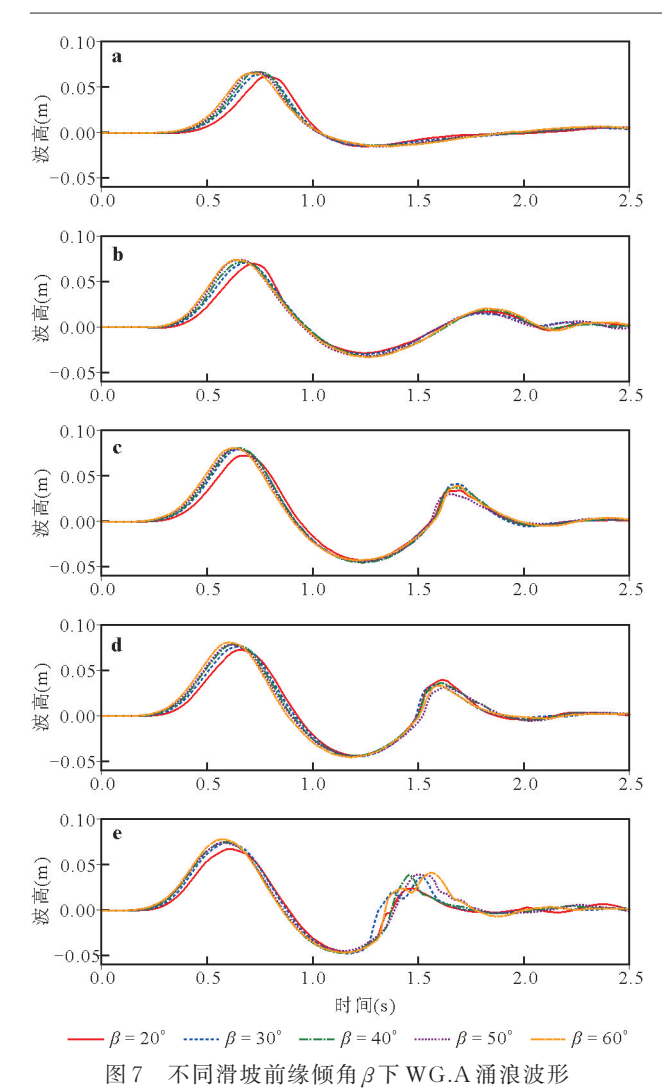


Fig. 7 WG.A waves for varied landslide leading edge inclinations β a. α =35°; b. α =45°; c. α =50°; d. α =55°; e. α =65°

则表现出先增大后减小再增大的多阶段变化特征.

滑坡与水体之间的有效作用面积是传递滑坡动能和动量、进而生成涌浪的关键因素(Li et al., 2024). 滑坡的厚度(S)本身并不直接影响有效作用面积,关键因素在于其在垂直方向的分量(S_z). 当滑坡前缘倾角为90°时, S_z 可用常见的 $S \times \cos \alpha$ 形式表示,其中 $\cos \alpha$ 表示滑坡厚度在竖直方向上的投影长度. 若前缘倾角不为90°,则滑坡的垂直人水分量同时受到滑动面倾角(α)与前缘倾角(β)的协同影响, S_z 则可表示为 $S \times \sin(\alpha + \beta)$. 在本研究中,滑坡厚度保持为0.08 m不变,通过调控 α 与 β 的组合关系以改变 S_z ,进而调节滑坡与水体的有效作用面积,对涌浪特征参数产生显著影响. 所以 a_m 和 H_m 随着 α 的增加均呈现先增后减的非线性变化趋势;而 β 的变

化除影响有效作用面积外,还在一定程度上改变滑坡体积,使其对涌浪参数的影响机制更加复杂.

3.3 涌浪衰减规律

在每组工况下,4个监测点的 a_m 和 H_m 通过拟合 关系 $z=ax^{-b}$ (其中x为涌浪传播距离)进行分析,如 图 8 和图 9 所示. 分析表明, am和 Hm随着涌浪传播距 离的增加而逐渐减小,但衰减速率表现出不同的变 化趋势,尤其在 α 和 β 的不同组合下,涌浪衰减速率 呈现出不同的减缓和加速模式.对 a_m 而言,在 α 相同 条件下,随着 $\alpha+\beta$ 趋近于90°,拟合参数b值逐渐减 小,表明衰减速率明显减缓;当 $\alpha+\beta$ 超过90°后, a_m 衰减速率先增强后减弱.进一步分析发现,当β固定 为 20° 或 30° 时, a_{m} 衰减速率随 α 的增大大致呈减缓 趋势;然而,当 β 为 40° 、 50° 或 60° 时, a_{m} 衰减速率随 α 的增大呈现出先减缓、后加速、再减缓的非单调变 化趋势.对于 H_m ,当 α =35°时,衰减速率随 β 增大呈 减缓趋势:而当 α 为 45° 、 50° 、 55° 和 65° 的情况下, H_{m} 衰减速率则呈现出减缓和加快交替的变化规律.此 外,当 β 固定时,H。衰减速率随 α 的增加表现为单调 增强.从物理机制的角度看,当 α + β 接近90°时,滑 坡体有效作用面积的推移方向与波浪传播方向趋 于一致.导致波浪能量的传播模式与滑坡体的推移 作用相互耦合,从而减少了波浪与土体间的能量耗 散效应,导致能量耗散速率降低,进而使涌浪的衰 减速率相对减缓.

4 讨论

4.1 不同滑坡的涌浪冲击特征对比

与散体滑坡相比,刚体滑坡因其整体性强、不发生形变,且水体无法渗入,具有显著的水土体积置换效应与前缘推动作用,滑坡前缘与水体剧烈碰撞,掀起高幅涌浪,并在前缘形成明显的高速水流区(图 10a).而散体滑坡允许水体渗入滑体内部,削弱了体积置换与推动效应,导致涌浪波高显著降低,涌浪总动能仅为刚体滑坡的 21.55%(t=0.3 s).除水土颗粒间的碰撞导致能量传递外,散体滑坡中还存在与水土相对运动有关的渗流拖曳力.若在数值模拟中忽略拖曳力作用(图 10b),则水土间动量传递不充分,涌浪波形偏离实际.考虑渗流拖曳力后,散体滑坡前缘可形成一定范围的高速区(图 10c),模拟结果更接近实际,涌浪总动能提升至刚体滑坡的 34.01%(t=0.3 s),能量传递机制更为完整.

综上,尽管水体入渗削弱了滑坡体对水体的体

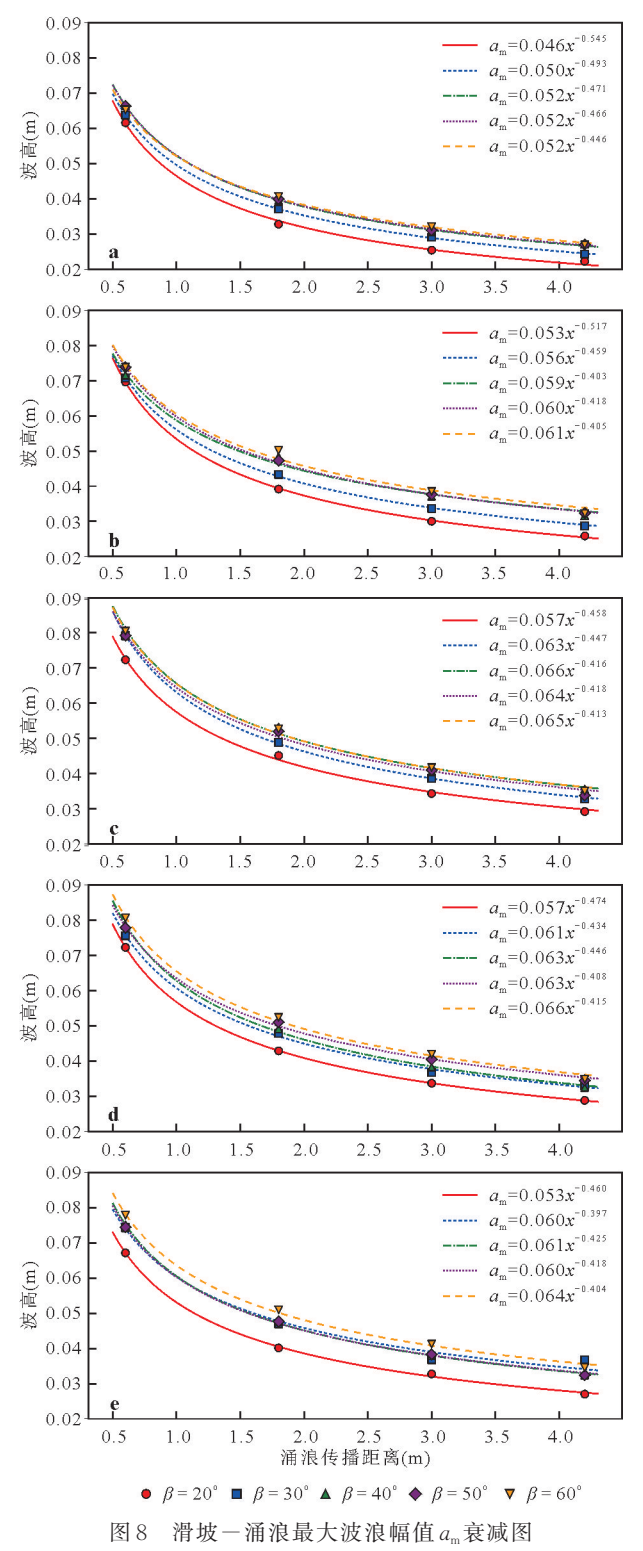


Fig. 8 Attenuation of maximum wave amplitude $a_{\rm m}$ for landslide-tsunamis $a.\alpha=35^{\circ}; b.\alpha=45^{\circ}; c.\alpha=50^{\circ}; d.\alpha=55^{\circ}; e.\alpha=65^{\circ}$

积置换与推动效应,降低涌浪强度,但渗流拖曳力 在散粒体滑坡一涌浪动力学过程中具有重要作用, 其缺失将导致对涌浪强度的显著低估.

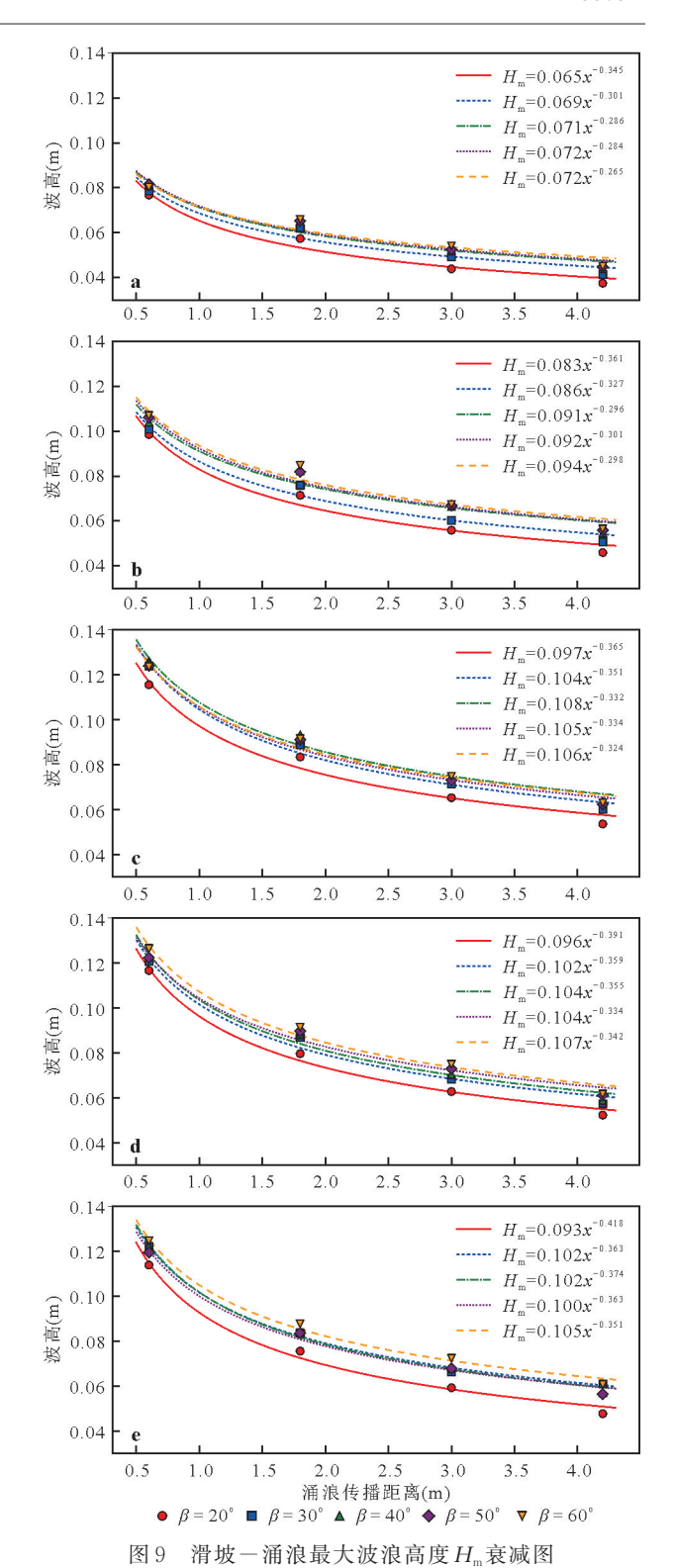


Fig. 9 Attenuation of maximum wave height $H_{\rm m}$ for landslide-tsunamis $a.\alpha=35^{\circ}; b.\alpha=45^{\circ}; c.\alpha=50^{\circ}; d.\alpha=55^{\circ}; e.\alpha=65^{\circ}$

4.2 角度协同影响

研究结果表明,当 $\alpha+\beta$ <90°时,随着 $\alpha+\beta$ 的增大, a_m 和 H_m 均呈现增加趋势.然而,对于 $\alpha+\beta$ >90°

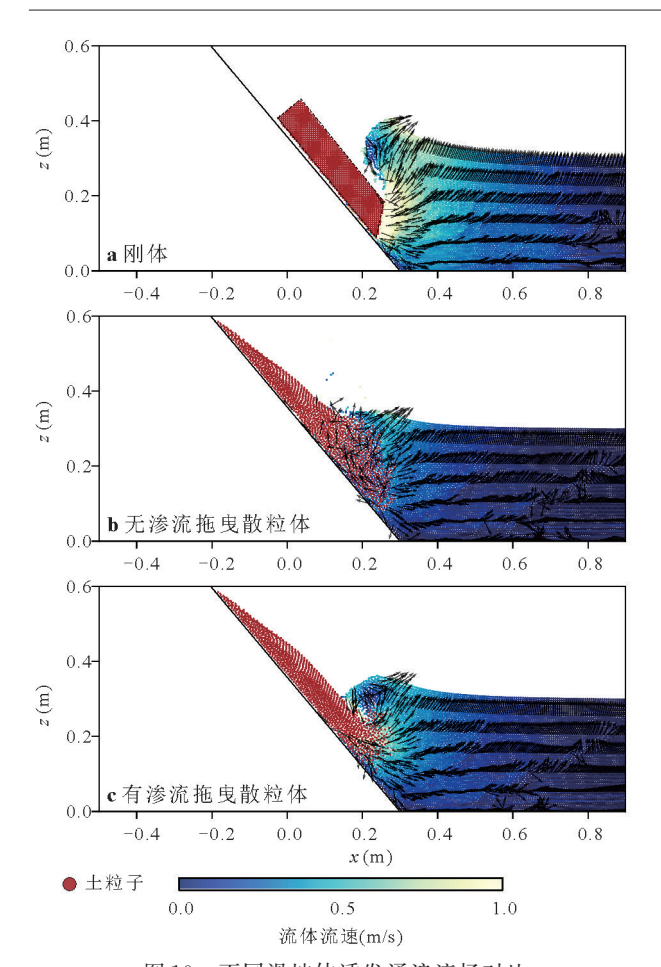


图 10 不同滑坡体诱发涌浪流场对比 Fig. 10 Flow field for waves generated by different land

$$t=0.3 \text{ s}, \alpha=50^{\circ}, \beta=50^{\circ}$$

slides

的情况, a 和 H 的变化规律则表现出更为复杂的非 线性特征.例如,当 α =50°且 β =40°时, a_m 和 H_m 分别 为 0.081 m 和 0.126 m; 而当 β 保持不变 、α 增至 55°、 65°时, am下降了2.59%和7.02%, Hm下降了2.56% 和 3.02%. 进一步分析发现, 当 α 保持不变且 β =50° $\forall \beta$ 的增大会导致滑坡体积增加约3.79%,但 α H_{m} 却分别下降了 1.85% 和 1.84%. 然而, 当 $\alpha + \beta$ 远 大于90°时 $,a_{m}$ 和 H_{m} 的增长规律进一步复杂化.例 如, 当 α =45°且 β =60°时, a_m 和 H_m 分别为 0.074 m 和 0.107 m; 当 α 增加至 55° 时 $,a_{\text{m}}$ 和 H_{m} 分别显著增加了 11.42% 和 19.54%; 而当 α 进一步增加至 65° 时, a_m 和 H_n的增幅则分别减缓至 6.49% 和 17.36%. 这一 结果表明,当 $\alpha+\beta>90$ °时,存在一种竞争机制:一 方面, $\alpha+\beta$ 的增大会导致有效作用面积的减少,削 弱滑坡对水体的推力,从而抑制 a_m 和 H_m 的增长;另 一方面, β的增大又会导致滑坡体积的增加, 增强动 能输入,进而促进 a_m 和 H_m 的上升.这种竞争机制揭示了涌浪生成过程中多因素耦合作用的复杂性,其中 α 和 β 是导致这种复杂性的两个重要因素.

此外,当 β 较小时,随着 α 的增大(即 α + β 逐渐 接近90°),涌浪衰减速率逐渐减缓.然而,当β较大 时,初期随着α增大,衰减速率减缓;但随着α进一 步增大,滑坡体的滑移速率显著提升,从而输入波 浪系统的能量急剧增加(图11).此时,高速波浪容 易引发非线性效应和加剧土体孔隙渗流作用,同时 底部摩擦阻力与波浪破碎产生的紊流耗散逐渐占 据主导地位,最终导致涌浪衰减速率加速,此外,在 α 保持不变的情况下, β 的变化会影响滑坡体积和有 效作用面积,从而对涌浪衰减速率产生影响.定量 分析表明,当 α 固定为50°时, β =40°工况下浪高仪 监测域内水体获得的水平动量达到最大值,较 β = 20°、30°、50°和60°分别提高2.02%、1.20%、0.63%和 0.87%,表明此时波浪传播方向与滑坡推移运动方 向实现最优耦合(图12). 当β进一步增大至60°时, 尽管耦合程度下降,但由于滑坡体积显著增加,系 统向水体输入更多、更持续的能量与动量,仍表现 出涌浪衰减速率减缓的特征,尽管涌浪传播方向尚 未与滑坡推移方向形成最优耦合,仍表现出涌浪衰 减速率减缓的特征.上述结果表明,波浪衰减过程 中的能量传递与耗散机制高度复杂,且 α 与 β 均为 其重要影响参数.

4.3 本研究的局限性

本文构建了适用于散粒体滑坡一涌浪过程的 动态渗流两相 SPH模型,进而初步揭示了滑动面倾 角与滑坡前缘倾角对涌浪特征参数的协同影响机制.但需指出的是,当前研究结论尚待物理模型试验进一步验证;同时,本文仅针对近水滑坡自然垮塌入水过程进行分析,尚未涉及高速滑坡情形下滑动面倾角与滑坡前缘倾角协同作用机制的研究.

5 结论与展望

本研究基于动态渗流的两相光滑粒子流体动力学(SPH)模型,通过数值模拟与模型试验的对比验证,系统揭示了渗流效应在滑坡一涌浪过程中的关键作用,并深入分析了滑动面倾角(α)与滑坡前缘倾角(β)对涌浪特征参数的协同影响机制.主要结论如下:

(1)建立了考虑动态渗流的两相 SPH模型,该模型基于混合物理论模拟水-土混合体的相互作

0.6

0.6

0.6

1.0

0.8

0.8

0.8

0.8

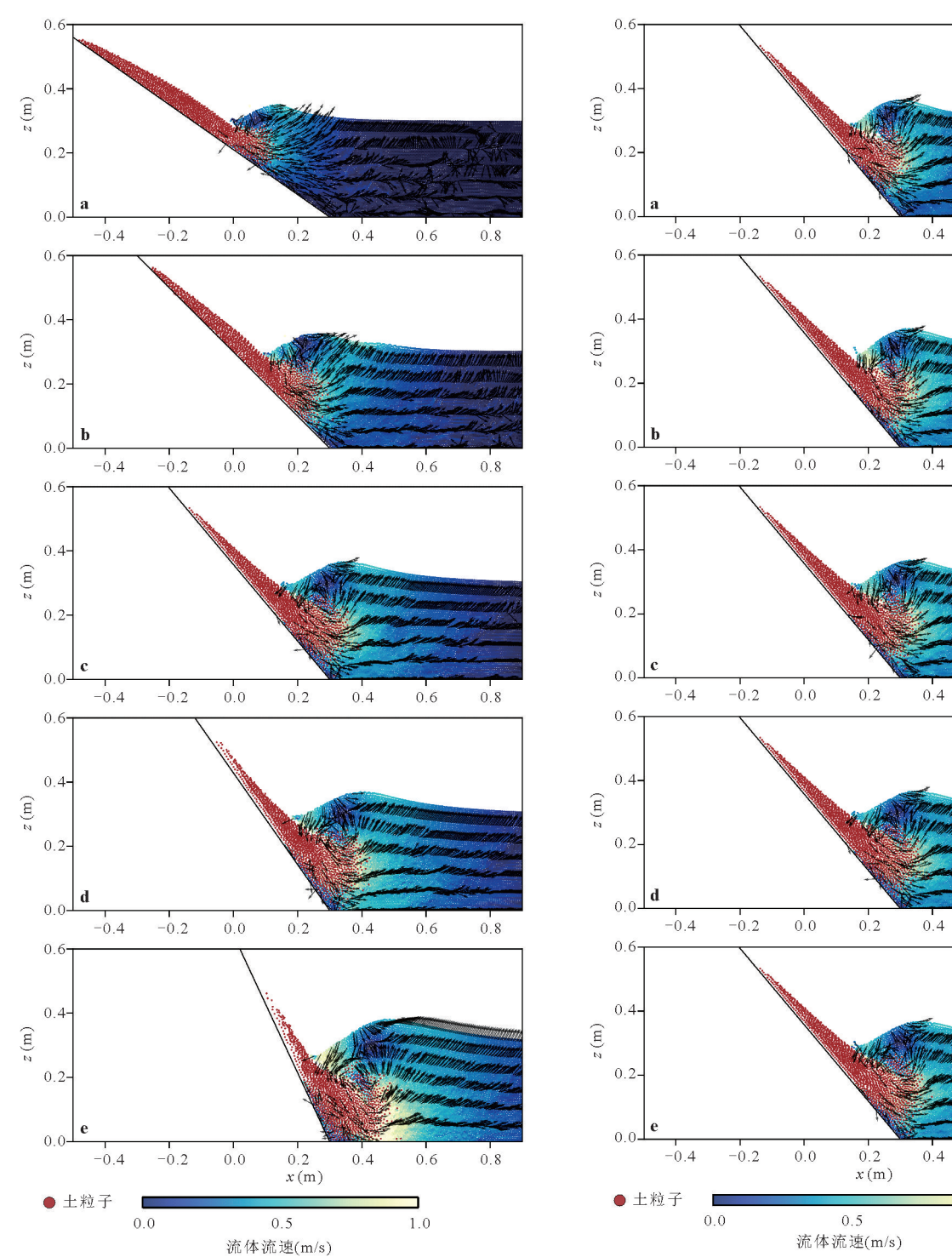


图 11 不同滑动面倾角 α 下滑坡-涌浪流场示意图 (t= 0.4 s, β = 50°)

Fig. 11 Flow field for varied sliding surface inclinations (t= 0.4 s, β =50°) a. α =35°; b. α =45°; c. α =50°; d. α =55°; e. α =65°

用,并引入非线性 Darcy-Forchheimer 模型描述渗流 拖曳力.基于室内试验验证了该模型在模拟散粒体 滑坡-涌浪过程中的可靠性.与未考虑渗流的 SPH

图 12 不同滑坡前缘倾角 β 下滑坡一涌浪流场示意图(t= 0.4 s, α = 50°)

Fig. 12 Flow field for varied landslide leading edge inclinations (t=0.4 s, α =50°) a. β =20°; b. β =30°; c. β =40°; d. β =50°; e. β =60°

模型相比,考虑渗流的 SPH模型显著提高了涌浪波高和波形的预测精度,各监测点的最大波浪幅值 (a_m)和最大波浪高度(H_m)的误差显著降低,各监测

点 a_m 和 H_m 的 误差 分别 降低 24.72% 和 41.95% 以上.

- (2)数值试验结果表明 α 和 β 对涌浪特征参数 a_{m} 和 H_{m} 存在较为显著的协同影响 . 随着 α 的增大 , a_{m} 和 H_{m} 呈现出先递增后递减的非线性趋势 ; 相比之下 , β 的影响相对较弱 , 但变化规律更为复杂 . 当 α + β < 90° 时 , a_{m} 和 H_{m} 随 α + β 的增大而增加 ; 而当 α + β > 90° 时 , a_{m} 和 H_{m} 的变化规律则表现出二者呈现显著的非单调关系 , 表明存在滑坡体积增加与有效作用面积减少之间的竞争机制 .
- (3)波浪传播过程中, a_m 和 H_m 的衰减特性受参数 α 和 β 的协同调控,呈现显著的非线性特征.研究表明: α 增大导致波浪能量增强,与紊流、摩擦耗散效应的耦合作用进一步加剧了衰减速率的复杂性; β 主要通过改变有效作用面积影响衰减速率,当 α + β 趋于90°时,波浪传播方向与滑坡体运动方向趋于一致,能量耗散较弱,致使近场涌浪衰减速率明显降低.

综上所述,本研究基于考虑动态渗流的两相 SPH模型,揭示了滑动面倾角与滑坡前缘倾角对涌 浪特征参数的协同影响机制.研究成果可为滑坡一涌浪灾害的精确预测与防控提供理论参考,并在工程实践中通过优化滑坡前缘倾角以减弱涌浪危害.上述结论尚未涉及滑坡高速冲击下的波形演化特征及涌浪衰减规律.后续研究应重点突破高速粒子边界穿透问题,发展适用于高速滑坡一涌浪过程的 动态渗流两相 SPH算法,从而建立更完善的灾害预测理论体系.

References

- Barla, G., Paronuzzi, P., 2013. The 1963 Vajont Landslide: 50th Anniversary. *Rock Mechanics and Rock Engineering*, 46(6): 1267—1270. https://doi. org/10.1007/s00603-013-0483-7
- Clous, L., Abadie, S., 2019. Simulation of Energy Transfers in Waves Generated by Granular Slides. *Landslides*, 16(9): 1663—1679. https://doi.org/10.1007/s10346-019-01180-0
- Cui, P., Zhu, X. H., 2011. Surge Generation in Reservoirs by Landslides Triggered by the Wenchuan Earthquake. *Journal of Earthquake and Tsunami*, 5(5): 461–474. https://doi.org/10.1142/s1793431111001194
- Dai, Z. L., Lan, B. S., Jiang, M. T., et al., 2025. Numerical Modeling of Submarine Landslide Motion and Impact Behavior Based on the SPH Method. *Journal of Ocean*

- *University of China*, 24(2): 365—376. https://doi.org/10.1007/s11802-025-5853-8
- Evers, F. M., Hager, W. H., 2016. Spatial Impulse Waves: Wave Height Decay Experiments at Laboratory Scale. *Landslides*, 13(6): 1395—1403. https://doi. org/10.1007/s10346-016-0719-1
- Evers, F. M., Hager, W. H., Boes, R. M., 2019. Spatial Impulse Wave Generation and Propagation. *Journal of Waterway*, *Port*, *Coastal*, *and Ocean Engineering*, 145(3): 04019011. https://doi. org/10.1061/(asce) ww.1943-5460.0000514
- Fornaciai, A., Favalli, M., Nannipieri, L., 2019. Numerical Simulation of the Tsunamis Generated by the Sciara Del Fuoco Landslides (Stromboli Island, Italy). *Scientific Reports*, 9(1): 18542. https://doi.org/10.1038/s41598-019-54949-7
- Fritz, H. M., 2001. Lituya Bay Case: Rockslide Impact and Wave Run-up. *Science of Tsunami Hazards*, 19, 3.
- Fritz, H. M., Hager, W. H., Minor, H. E., 2004. Near Field Characteristics of Landslide Generated Impulse Waves. *Journal of Waterway*, *Port*, *Coastal*, *and Ocean Engineering*, 130(6): 287—302. https://doi.org/10.1061/(asce)0733-950x(2004)130:6(287)
- Grilli, S. T., Tappin, D. R., Carey, S., et al., 2019. Modelling of the Tsunami from the December 22, 2018 Lateral Collapse of Anak Krakatau Volcano in the Sunda Straits, Indonesia. *Scientific Reports*, 9: 11946. https://doi.org/10.1038/s41598-019-48327-6
- Heller, V., Spinneken, J., 2013. Improved Landslide—Tsunami Prediction: Effects of Block Model Parameters and Slide Model. *Journal of Geophysical Research: Oceans*, 118(3): 1489—1507. https://doi.org/10.1002/jgrc.20099
- Heller, V., Spinneken, J., 2015. On the Effect of the Water Body Geometry on Landslide - Tsunamis: Physical Insight from Laboratory Tests and 2D to 3D Wave Parameter Transformation. *Coastal Engineering*, 104: 113— 134. https://doi.org/10.1016/j.coastaleng.2015.06.006
- Huang, B. L., Yin, Y. P., Du, C. L., 2016. Risk Management Study on Impulse Waves Generated by Hongyanzi Landslide in Three Gorges Reservoir of China on June 24, 2015. *Landslides*, 13(3): 603-616. https://doi.org/10.1007/s10346-016-0702-x
- Huang, C., Hu, C., An, Y., et al., 2023. Numerical Simulation of the Large-Scale Huangtian (China) Landslide-Generated Impulse Waves by a GPU-Accelerated Three-Dimensional Soil-Water Coupled SPH Model. Water Resources Research, 59(6): e2022WR034157.

- https://doi.org/10.1029/2022wr034157
- Jiang, Q., 2019. Unified Particle Method Research for Simulation of Landslides Generated Waves in Reservoir Bank (Dissertation). Ningbo Institute of Material Technology, Chinese Academy of Sciences, Ningbo(in Chinese with English abstract).
- Lee, C. H., Huang, Z. H., 2022. Effects of Grain Size on Subaerial Granular Landslides and Resulting Impulse Waves: Experiment and Multi-Phase Flow Simulation. Landslides, 19(1): 137—153. https://doi.org/10.1007/s10346-021-01760-z
- Lee, C. H., Lo, P. H., Shi, H. B., et al., 2022. Numerical Modeling of Generation of Landslide Tsunamis: A Review. *Journal of Earthquake and Tsunami*, 16(6): 2241001. https://doi.org/10.1142/s1793431122410019
- Li, H. W., Xu, Z. G., Shi, J. Y., et al., 2024. Tsunami Potential Threat from the Ryukyu Trench on Chinese Coast Based on Subduction Zone Dynamics Parameters. *Earth Science*, 49(2): 403—413(in Chinese with English abstract)
- Li, P. F., Jing, H. X., Li, G. D., 2024. Generation and Prediction of Water Waves Induced by Rigid Piston–Like Landslide. *Natural Hazards*, 120(3): 2683—2704. https://doi.org/10.1007/s11069-023-06300-7
- Li, Q. W., Huang, B. L., Zhang, P., et al., 2024. Influence of the Degree of Landslide Fragmentation on the Characteristics of Landslide Impulse Wave. *Rock and Soil Mechanics*, 45(11): 3345—3354(in Chinese with English abstract).
- Liu, J. X. Z., 2023. Partitioning Prediction Study of Landslide-Tsunamis in the Wu Gorge of the Three Gorges Reservoir Area(Dissertation). China University of Geosciences, Wuhan (in Chinese with English abstract).
- Luo, M., Khayyer, A., Lin, P. Z., 2021. Particle Methods in Ocean and Coastal Engineering. Applied Ocean Research, 114: 102734. https://doi. org/10.1016/j. apor.2021.102734
- Mao, Y. F., Guan, M. F., 2023. Mesh-Free Simulation of Height and Energy Transfer of Landslide-Induced Tsunami Waves. *Ocean Engineering*, 284: 115219. https:// doi.org/10.1016/j.oceaneng.2023.115219
- Meng, Z. Z., Zhang, J. X., Hu, Y. T., et al., 2023. Temporal Prediction of Landslide-Generated Waves Using a Theoretical-Statistical Combined Method. *Journal of Marine Science and Engineering*, 11(6): 1151. https://doi.org/10.3390/jmse11061151
- Mohammed, F., Fritz, H. M., 2012. Physical Modeling of Tsunamis Generated by Three-Dimensional Deformable

- Granular Landslides. *Journal of Geophysical Research* (*Oceans*), 117(C11): C11015. https://doi.org/10.1029/2011JC007850
- Paquier, A. E., Oudart, T., Le Bouteiller, C., et al., 2021.

 3D Numerical Simulation of Seagrass Movement under Waves and Currents with GPUSPH. *International Journal of Sediment Research*, 36(6): 711—722. https://doi.org/10.1016/j.ijsrc.2020.08.003
- Rauter, M., Viroulet, S., Gylfadóttir, S. S., et al., 2022.
 Granular Porous Landslide Tsunami Modelling—The 2014 Lake Askja Flank Collapse. *Nature Communications*, 13(1): 678. https://doi.org/10.1038/s41467-022-28296-7
- Tang, G. Q., Lu, L., Teng, Y. F., et al., 2018. Impulse Waves Generated by Subaerial Landslides of Combined Block Mass and Granular Material. *Coastal Engineer-ing*, 141: 68-85. https://doi.org/10.1016/j. coastal-eng.2018.09.003
- Viroulet, S., Sauret, A., Kimmoun, O., et al., 2013. Granular Collapse into Water: Toward Tsunami Landslides. *Journal of Visualization*, 16(3): 189—191. https://doi.org/10.1007/s12650-013-0171-4
- Wu, H., Shi, A. C., Ni, W. D., et al., 2024a. Numerical Simulation on Potential Landslide - Induced Wave Hazards by a Novel Hybrid Method. *Engineering Geology*, 331: 107429. https://doi. org/10.1016/j. enggeo.2024.107429
- Wu, H., Zhong, Q. M., Deng, Z., et al., 2024b. Numerical Investigation of the Effect of Landslide Relative Density on the Impulse Wave Amplitude. *Ocean Engineering*, 309: 118563. https://doi. org/10.1016/j. oceaneng.2024.118563
- Xu, Q., Dong, X. J., 2011. Genetic Types of Large-Scale Landslides Induced by Wenchuan Earthquake. *Earth Science*, 36(6): 1134—1142(in Chinese with English abstract).
- Xu, W. J., 2023. Research Advances in Disaster Dynamics of Landslide Tsunami. *Journal of Engineering Geology*, 31
 (6): 1929—1940(in Chinese with English abstract).
- Yin, K. L., Liu, Y. L., Wang, Y., et al., 2012. Physical Model Experiments of Landslide-Induced Surge in Three Gorges Reservoir. *Earth Science*, 37(5): 1067— 1074(in Chinese with English abstract).
- Yu, M. L., Lee, C. H., 2019. Multi-Phase-Flow Modeling of Underwater Landslides on an Inclined Plane and Consequently Generated Waves. Advances in Water Resources, 133: 103421. https://doi.org/10.1016/j.advwatres.2019.103421

- Zhang, C., Rezavand, M., Zhu, Y. J., et al., 2021. SPHinXsys: An Open-Source Multi-Physics and Multi-Resolution Library Based on Smoothed Particle Hydrodynamics. *Computer Physics Communications*, 267: 108066. https://doi.org/10.1016/j.cpc.2021.108066
- Zhang, S. H., Zhang, C., Hu, X. Y., et al., 2024. A Riemann-Based SPH Method for Modelling Large Deformation of Granular Materials. *Computers and Geo*technics, 167: 106052. https://doi.org/10.1016/j.compgeo.2023.106052
- Zhu, C. W., Peng, C., Wu, W., et al., 2022. A Multi-Layer SPH Method for Generic Water - Soil Dynamic Coupling Problems. Part I: Revisit, Theory, and Validation. Computer Methods in Applied Mechanics and Engineering, 396: 115106. https://doi.org/10.1016/j. cma.2022.115106
- Zhu, Y. F., An, C., 2024. Application of Uniform Slip Models to Tsunami Early Warning: A Case Study of 2021 Mw 8.2 Alaska Peninsula Earthquake. Earth Science, 49 (2): 500—510(in Chinese with English abstract).

中文参考文献

- 蒋权, 2019. 库岸滑坡涌浪模拟的统一粒子法研究(博士学位 论文). 宁波: 中国科学院大学(中国科学院宁波材料技 术与工程研究所).
- 李宏伟, 徐志国, 史健宇, 等, 2024. 基于俯冲带动力学参数 评估琉球海沟对我国东南沿岸的海啸威胁. 地球科学, 49(2): 403-413.
- 李秋旺, 黄波林, 张鹏, 等, 2024. 滑体破碎程度对滑坡涌浪特征的影响研究. 岩土力学, 45(11): 3345-3354.
- 刘继芝娴,2023. 三峡库区巫峡段高陡库岸滑坡涌浪分区预测研究(博士学位论文). 武汉: 中国地质大学.
- 许强, 董秀军, 2011. 汶川地震大型滑坡成因模式. 地球科学, 36(6): 1134-1142.
- 徐文杰, 2023. 库岸滑坡涌浪链生灾害动力学研究进展. 工程地质学报, 31(6): 1929-1940.
- 殷坤龙, 刘艺梁, 汪洋, 等, 2012. 三峡水库库岸滑坡涌浪物理模型试验. 地球科学, 37(5): 1067-1074.
- 朱艺帆, 安超, 2024. 均匀滑移模型在海啸预警中的应用: 以 2021 年 Mw 8.2 Alaska 地震为例. 地球科学, 49(2): 500-510.